

05;12

## Прочность армированных и неармированных монокристаллов $\text{Bi}_2\text{Te}_3$

© М.А. Коржуев, Е.А. Кулакова

Институт metallurgии им. А.А. Байкова РАН,  
117911 Москва, Россия

(Поступило в Редакцию 23 мая 1995 г. В окончательной редакции 8 ноября 1995 г.)

Исследована термодинамика  $\Omega$ - и  $V$ -образного прогиба монокристаллов  $\text{Bi}_2\text{Te}_3$ . Для изменения формы прогиба  $\Omega \rightarrow V$  использовано армирование образца тонкими стальными стержнями, расположенными перпендикулярно плоскостям спайности. Найдено, что армирование повышает предел прочности образцов на изгиб  $\sigma_{\text{B}}$  более чем в 2 раза. Показано, что переход  $\Omega \rightarrow V$  приводит к существенному изменению спектра диссипации энергии в образце при деформации. Рассмотрены некоторые аспекты практического использования наблюдавшихся эффектов.

### Введение

При испытании на изгиб по трехточечной схеме при нагружении вдоль направления, перпендикулярного плоскостям спайности (в установке  $P \parallel \bar{3}$ , где  $P$  — прилагаемое напряжение,  $\bar{3}$  — тригональная ось), монокристаллы  $\text{Bi}_2\text{Te}_3$ , состоящие из чередующихся вдоль тригональной оси слоев — квинтетов атомов ( $-\text{Te}^1\text{-Bi-Te}^2\text{-Bi-Te}^1-$ ) (пространственная группа симметрии  $R\bar{3}m$ ) [1], приобретали специфическую  $\Omega$ -образную форму (рис. 1, б), отличную от обычной для монолитных твердых тел  $V$ -образной формы (а) [2]. При этом концы образцов  $\text{Bi}_2\text{Te}_3$ , свободно лежащие на опорах, в процессе прогиба сохраняли свое исходное горизонтальное положение с небольшим отклонением (до 1–5 угл. град.). В [3] показано, что эффект  $\Omega$ -образного прогиба носит структурный характер и связан со специфической "самоорганизацией" слоистых образцов  $\text{Bi}_2\text{Te}_3$  при нагружении. Установлено, что в процессе изгиба концы образцов  $\text{Bi}_2\text{Te}_3$ , лежащие вне опор, остаются монолитными, в то же время части, лежащие в пределах опор, испытывают стратификацию — разбиваются на слои толщиной 0.05–0.1 мм и менее за счет растрескивания по плоскостям спайности (0001).

На рис. 2 показано распределение внутренних сил  $Q = dM/dx = \pm P/2$ , изгибающих моментов  $M$ , нормальных  $\sigma = \sigma_{xx}$  и касательных (сдвиговых)  $\tau = \tau_{yx} = \tau_{xy}$  напряжений (здесь  $\tau_{yx}$  — поперечное (по оси  $y$ ),  $\tau_{xy}$  — продольное (по оси  $x$ ) напряжение) при деформации изгибом монолитных ортотропных образцов под действием сосредоточенной нагрузки  $P$  [4]. В упругой области в предположении равенства сопротивления растяжению и сжатию нормальные напряжения на внешнем слое и сдвиговые напряжения на нейтральной оси 00' (рис. 2) даются выражениями

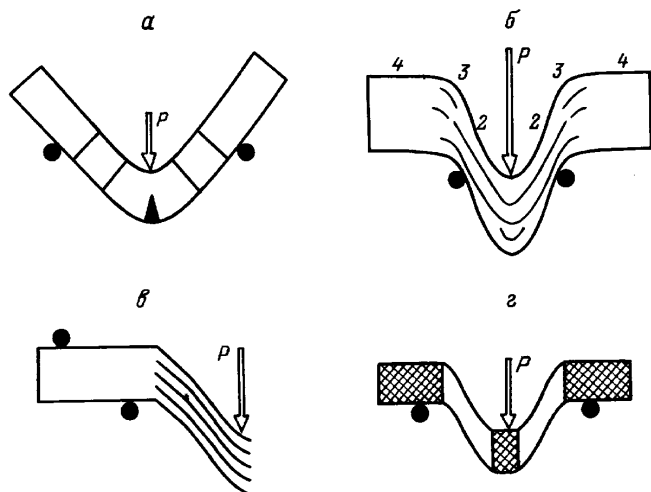
$$\sigma = \frac{M}{B} = \frac{3PL}{2bh^2}, \quad (1)$$

$$\tau = \frac{3Q}{2bh} = \frac{3P}{4bh} = \sigma \frac{h}{2L}, \quad (2)$$

где  $M = PL/4$  — изгибающий момент,  $B = bh^2/6$  — суммарный момент сопротивления площади сечения прямоугольной балки,  $h$  — высота,  $b$  — ширина образца,  $L$  — расстояние между опорами [4].

Нормальные напряжения  $\sigma \sim M$  (они могут вызвать либо трещину разрыва, либо расслоение образца) максимальны в точке приложения нагрузки и равны нулю на опорах, по сечению они возрастают по линейному закону от  $-\sigma$  до  $\sigma$  при переходе от выпуклой поверхности образца к вогнутой, обращаясь в нуль на нейтральной оси 00' ( $y = h/2$ ). Сдвиговые напряжения  $\tau \sim Q \sim h/L$  с точностью до знака постоянны по всей рабочей длине (от точки приложения нагрузки до опоры) и поэтому могут вызвать продольное расщепление образца (компоненты  $\tau_{xy}$ ). По сечению сдвиговые напряжения  $\tau$  распределены по параболическому закону и максимальны на нейтральной оси образца 00'.

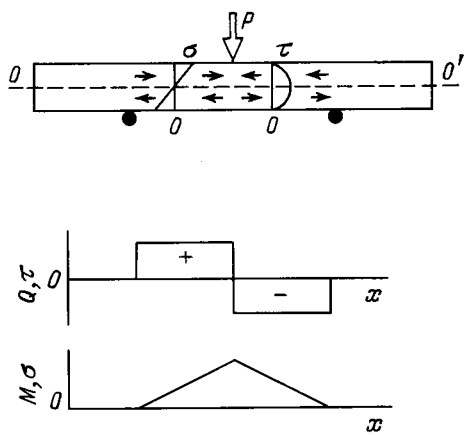
Таким образом, если нагружать монолитную балку, то ее прогиб и разрушение будут, как правило, происходить по схеме рис. 1, а. Если же нагружать не слишком тонкую слоистую балку типа  $\text{Bi}_2\text{Te}_3$  с относительно слабыми межслойными связями, то после некоторого упругого прогиба в области достаточно больших деформаций по достижении критического касательного напряжения  $\tau \sim \tau_{\text{B}}$  произойдет специфическое разрушение материала — расщепление и относительный сдвиг слоев в центральной части образца, а свободные концы за опорами, не подверженные сдвигу, останутся монолитными (рис. 1, б). Слоистый образец с монолитными концами при нагружении ведет себя подобно известному механизму — двойному плоскопараллельному пружинному подвесу, применяемому в ряде приборов (рис. 1, а) [3]. Подвес состоит из трех монолитных пластин, соединенных четырьмя гибкими плоскими пружинами. Пружины вместе со сторонами пластин образуют два параллелограмма (при больших прогибах — криволинейных), которые при нагружении системы изменяют свои углы, не меняя плоскопараллельного расположения сторон (на том же принципе работает чертежный прибор кульман). Соответственно при



**Рис. 1.** Формы прогиба и механизмы разрушения пластически деформированных образцов после испытаний на изгиб по трехточечной схеме. *a* — стандартные; *a*—*в* — наблюдавшиеся в  $\text{Bi}_2\text{Te}_3$  (*a* — армированный образец); *г* — простейшая модель, демонстрирующая  $\Omega$ -образный прогиб.

нагружении центральная пластина подвеса (рис. 1, *a*) смешается параллельно самой себе, боковые пластины скользят по направлению к центру, также не меняя своего исходного горизонтального положения, в результате в модели наблюдается один центральный и два боковых изгиба в районе опор, т. е. искомый прогиб  $\Omega$ -типа. Можно показать, что слоистый образец с монолитными концами типа  $\text{Bi}_2\text{Te}_3$  (рис. 1, *б*) сохраняет все основные черты рассмотренной модели [3].

В работах [5,6] была исследована кинетика эффекта, зависимость формы прогиба от скорости прогиба  $\dot{\varepsilon}$  и геометрических размеров образца, прочности межслоевых связей, изменяемой путем введения в образцы легирующих добавок. Показано, что с ростом



**Рис. 2.** Распределение поперечных сил  $Q$ , изгибающих моментов  $M$ , нормальных  $\sigma$  и сдвиговых  $\tau$  напряжений по длине и высоте прямоугольной монолитной балки со сосредоточенной нагрузкой  $P$  [7].

скорости прогиба  $\dot{\varepsilon}$  при уменьшении длины  $l \rightarrow L$  и толщины  $h \rightarrow 0$  образцов, а также при увеличении прочности межслоевых связей форма прогиба меняется  $\Omega \rightarrow V$ . Термодинамику  $\Omega$ -образного прогиба монокристаллов  $\text{Bi}_2\text{Te}_3$  ранее специально не исследовали.

Целью настоящей работы было исследовать термодинамику  $\Omega$ -образного прогиба монокристаллов  $\text{Bi}_2\text{Te}_3$ . Для изменения формы прогиба  $\Omega \rightarrow V$  использован специальный прием — армирование образца тонкими стальными стержнями, расположеннымными перпендикулярно плоскостям спайности и блокирующими скольжение плоскостей (рис. 1, *a*). Для определения относительного вклада различных частей образца в процессы диссипации энергии при деформации испытания образцов на изгиб производили в различных установках (рис. 1, *в*, *с*). Показано, что переход  $\Omega \rightarrow V$  приводит к существенному изменению спектра диссипации энергии при прогибе образца. Рассмотрены некоторые аспекты практического использования наблюдавшихся эффектов.

## Эксперимент

Монокристаллы теллурида висмута  $\text{Bi}_2\text{Te}_3$  получали из расплава методом Чохральского [5]. Использовали образцы размерами  $h \times b \times l = 3 \times 6 \times 25$  мм ( $l$  — длина образца), которые вырезали из монокристаллов методом электроискровой резки параллельно плоскостям спайности (0001). В образцах высверливали 4 отверстия (рис. 1, *a*), в которые вставляли стальные стержни ( $d = 0.4$  мм), концы которых фиксировали на поверхности образцов низкотемпературным припоем LOT 139 (53 вес.% Bi, 42 вес.% Sn, 5 вес.% Cu). Насыщение образцов медью ( $\sim 1.2 \cdot 10^{19} \text{ см}^{-3}$ ) проводили методом автоэлектрохимического легирования при комнатной температуре [7], испытания монокристаллических образцов на изгиб — на машине фирмы "Instron" по трехточечной схеме с базой  $L = 12$  мм (диаметр цилиндрических опор 3 мм) при скорости деформации 0.05 см/мин ( $T = 300$  К). По кривым напряжение–деформация определяли максимальную силу сопротивления образца деформации  $P_{\max}$  и потом по формуле (1) рассчитывали пределы прочности образов на изгиб  $\sigma_B$  (табл. 1). Статистический разброс величин  $\sigma_B$ , измеренных в одной и той же установке для образцов из одного и того же состава, не превышал 20%.

## Экспериментальные результаты и их обсуждение

В табл. 1 приведены пределы прочности на изгиб  $\sigma_B$  исследованных образцов в различных установках (рис. 1). В табл. 1 видно, что прочность на изгиб

**Таблица 1.** Пределы прочности на изгиб исследованных образцов в различных установках

Образец	Предел прочности на изгиб $\sigma_B$ , МПа		
	Установка*		
	<i>a</i>	<i>b</i>	<i>c</i>
Bi <sub>2</sub> Te <sub>3</sub>	18**	8	3.2
Bi <sub>2</sub> Te <sub>3</sub> (Cu)	29**	23	7.6

\* См. рис. 1.

\*\* Армированные образцы.

$\sigma_B$  армированного образца Bi<sub>2</sub>Te<sub>3</sub> более чем в 2 раза превышает прочность  $\sigma_B$  исходного образца, тип изгиба при этом изменялся  $\Omega \rightarrow V$ . Соответственно разрушение армированного образца происходило путем разрыва слоев и образования трещины по схеме *a* (рис. 1), при этом деформация начала разрушения образца существенно уменьшалась (рис. 3). Таким образом, армирование изменяло характер сил, лимитирующих прочность монокристаллического образца Bi<sub>2</sub>Te<sub>3</sub>, от менее прочных межслоевых сил к более прочным силам, действующим в пределах слоя, что определяло общее упрочнение образца.

В более прочных легированных образцах на основе Bi<sub>2</sub>Te<sub>3</sub>  $\Omega$ -образный тип изгиба и механизм разрушения сохранялись, однако эффект упрочнения при армировании уменьшался (табл. 1). Последнее можно связать с тем, что легирование вызывает упрочнение межслоевых связей в образцах Bi<sub>2</sub>Te<sub>3</sub>, препятствующее межслоевому сдвигу и соответственно вызывающее спонтанный переход  $\Omega \rightarrow V$  (его начальные стадии) [5].

На рис. 3 показана зависимость работы  $A = \int_0^\varepsilon P_{\max}(\varepsilon) d\varepsilon$ , произведенной на образцами Bi<sub>2</sub>Te<sub>3</sub>(Cu) и Bi<sub>2</sub>Te<sub>3</sub> при деформации, от величины деформации  $\varepsilon$ . Стрелкой на рисунке показан момент разрушения более прочных легированных и

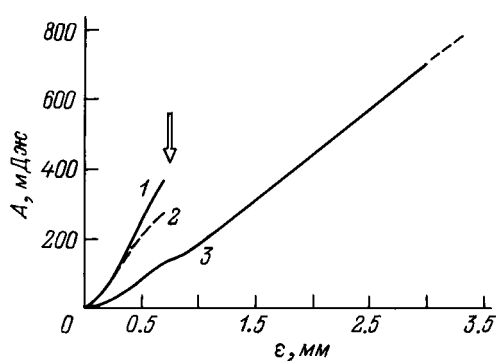
армированного образцов, испытывавших  $V$ -образный прогиб (кривые 1 и 2). Менее прочный неармированный образец Bi<sub>2</sub>Te<sub>3</sub>, испытывавший  $\Omega$ -образный прогиб и частичное разрушение (стратификацию), сохранял свою общую устойчивость вплоть до максимально использованных в работе деформаций ( $\varepsilon$  до 6–10 мм) (кривая 3). Из рис. 3 видно, что из-за большей устойчивости образца величина энергии, диссилируемой при  $\Omega$ -образом прогибе, может существенно превышать соответствующую энергию при  $V$ -образном прогибе того же образца, несмотря на большую прочность  $\sigma_B$  образца в последнем случае (табл. 1).

В табл. 2 приведены оценки энергии, диссилируемой на различных участках деформируемых образцов в различных установках (рис. 1). В установке *b* (рис. 1) диссипация энергии при деформации образца происходит на участках 1–3, в установке *c* — на участках 2 и 3; соответственно относительные значения мощности  $W_i = \dot{A}$  ( $i = 1 \dots 3$ ), выделяемой на указанных участках в стационарных условиях, даются выражениями

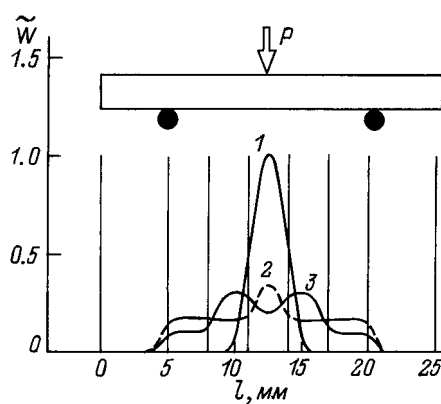
$$W_b = W_1 + 2W_2 + 2W_3, \quad (3)$$

$$W_c = W_2 + W_3. \quad (4)$$

Решая систему уравнений (3) и (4) при условиях  $W_1 \sim \dot{\varphi}_1 \sim 2W_3, \sim 2\dot{\varphi}_2$  (здесь  $\dot{\varphi}_1$  и  $\dot{\varphi}_2$  — основной и побочный углы изгиба),  $W_{b,c}P_{\max} \sim \sigma_B$  (табл. 1), находили интенсивность диссипации энергии  $W_i$  на различных участках деформируемых образцов (табл. 2), а затем рассчитывали слаженные методом наименьших квадратов спектры диссипации энергии при деформации  $\tilde{W} = W_i / (\Sigma_i W_i)$  (рис. 4). Из рис. 4 видно, что переход  $\Omega \rightarrow V$  приводит к существенному изменению спектра диссипации энергии в образце. При  $V$ -образном прогибе диссипация энергии происходит в достаточно узкой части образца, расположенной вблизи оси деформации (кривая 1 на рис. 4). При



**Рис. 3.** Зависимость работы  $A$ , произведенной на образце, от величины деформации  $\varepsilon$ . 1 — Bi<sub>2</sub>Te<sub>3</sub>(Cu); 2, 3 — Bi<sub>2</sub>Te<sub>3</sub> (2 — армированный образец). Стрелкой показан момент разрушения образцов.



**Рис. 4.** Спектры диссипации энергии при деформации образцов. 1 — Bi<sub>2</sub>Te<sub>3</sub> (армированный); 2 — Bi<sub>2</sub>Te<sub>3</sub>(Cu); 3 — Bi<sub>2</sub>Te<sub>3</sub>. Тип прогиба: 1 —  $V$ ; 2, 3 —  $\Omega$ .

**Таблица 2.** Интенсивность диссипации энергии на различных участках деформируемых образцов

Образец	Тип прогиба	Выделяемая мощность $W$ , мВА						
		участки*						
		4	3	2	1	2	3	4
$\text{Bi}_2\text{Te}_3$	$\Omega$	0	0.2	0.6	0.4	0.6	0.2	0
$\text{Bi}_2\text{Te}_3^*$ (армированный)	$V$	0	0	0	4.5	0	0	0
$\text{Bi}_2\text{Te}_3\langle\text{Cu}\rangle$	$\Omega^{**}$	0	1.0	0.9	2.0	0.9	1.0	0

\* См. рис. 1, б.

\*\* Начальные стадии перехода  $\Omega \rightarrow V$ .

$\Omega$ -образном прогибе область диссипации энергии существенно расширяется и охватывает районы как основного, так и побочного перегиба.

Спектры диссипации энергии легированных и нелегированных образцов  $\text{Bi}_2\text{Te}_3\langle\text{Cu}\rangle$  и  $\text{Bi}_2\text{Te}_3$  несколько различались, в первых усиливался относительный вклад центрального перегиба (1), для вторых более существенным оказывался относительный вклад процессов скольжения плоскостей на участке (3) (кривые 2 и 3 на рис. 4), что отражает начальные стадии перехода  $\Omega \rightarrow V$  в легированных образцах [5]. Микроскопические исследования [5] показали, что в образцах  $\text{Bi}_2\text{Te}_3\langle\text{Cu}\rangle$  процесс стратификации осложняется разломом слоев, при этом количество "активных" страт, соединяющих области перегибов (1 и 3 на рис. 1, а), уменьшается в  $\sim 2$  раза (до  $4-10 \text{ mm}^{-1}$ ). Таким образом, эффективный коэффициент "тренинга" между стратами в образцах  $\text{Bi}_2\text{Te}_3\langle\text{Cu}\rangle$  по абсолютной величине возрастает в  $\sim 3$  раза. Рост  $W_1$  в образцах  $\text{Bi}_2\text{Te}_3\langle\text{Cu}\rangle$  связан с увеличением прочности образцов на изгиб при увеличении толщины страт. Соответствующий эффект известен в механике деформируемых слоистых материалов [4], когда суммарный момент сопротивления изгибу слоистого образца, состоящего из  $n$  невзаимодействующих слоев, оказывается меньшим, чем у монолитной балки той же общей высоты,

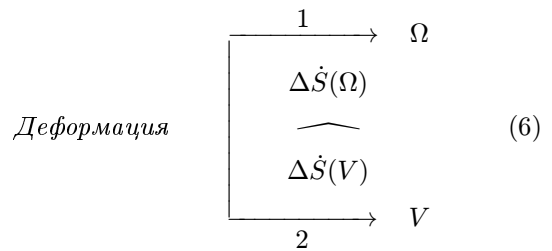
$$G_{\text{сл}} \sim \sum_n (b/6)(h/n)^2 \sim G/n. \quad (5)$$

Взаимодействие слоев можно учесть в выражении заменой  $n$  на его эффективное значение  $n^* = [1, n]$ , где  $n^* = 1$  для монолитной балки и  $n^* = n$  для невзаимодействующих слоев. Во всех случаях прочность на изгиб стопки более толстых слоев оказывается большей, чем стопки более тонких слоев той же общей высоты.

Таким образом, упрочнение монокристаллов  $\text{Bi}_2\text{Te}_3$  при интеркаляции меди можно связать с усилением химической связи между квинтетами, ведущими к увеличению сдвиговой прочности материала вдоль плоскостей спайности (0001).

Проанализируем термодинамические аспекты наблюдавшихся типов пластической деформации образцов  $\text{Bi}_2\text{Te}_3$ . Согласно термодинамике необратимых процессов, производство энтропии  $\Delta\dot{S}$  в системе при данных внешних условиях, препятствующих достижению системой равновесного состояния, имеет минимальное значение (теорема И.Р. Пригожина) [8–10]. Теорема Пригожина выражает свойства инерции неравновесных систем: если заданные внешние условия не позволяют системе достичь термодинамического равновесия (т. е. состояния, при котором энтропия не производится,  $\Delta\dot{S} = 0$ ), то система пребывает в состоянии минимальной диссипации. Последнее соответствует наибольшей степени устойчивости неравновесной системы [8–10].

Поскольку  $\dot{A} \sim \Delta\dot{S}$ , то из рис. 3 следует, что  $\Delta\dot{S}(\Omega) < \Delta\dot{S}(V)$  (кривые 2 и 3). Соответственно направление развития пластической деформации в исследованных образцах  $\text{Bi}_2\text{Te}_3$  можно представить схемой



В слоистых образцах  $\text{Bi}_2\text{Te}_3$ , испытывающих стратификацию под действием нагрузки (рис. 1, б), процесс деформации развивается по направлению 1, что обеспечивает  $\min \Delta\dot{S}$  (кривая 3 на рис. 3). В более прочных армированных образцах  $\text{Bi}_2\text{Te}_3$  и образцах  $\text{Bi}_2\text{Te}_3\langle\text{Cu}\rangle$ , где процессы стратификации затруднены или полностью исключены, процесс деформации развивается по направлению 2, при этом  $\min \Delta\dot{S}(\Omega) < \min \Delta\dot{S}(V)$  в соответствии с теоремой Пригожина. Соответственно при  $\Omega$ -образном прогибе образцы оказываются более устойчивыми (рис. 3).

Для состояний, далеких от состояния равновесия, теорема Пригожина не применима. Соответствующее изменение типа прогиба  $\Omega \rightarrow V$  наблюдали ранее для нестационарных состояний, соответствующих большему скоростям деформации образцов [3].

## Заключение

Полученные результаты позволяют сделать ряд замечаний о механизме упрочнения монокристаллов  $\text{Bi}_2\text{Te}_3$  при легировании. Сравнение величины  $\sigma_{\text{B}}$  исходных образцов с  $\Omega$ -образной формой изгиба и армированных образцов с  $V$ -образной формой изгиба показывает, что легирование ведет как к упрочнению слоев, так и к упрочнению межслоевых связей в материале. Упрочнение материала приводит к переходу  $\Omega \rightarrow V$ , так что нестандартная  $\Omega$ -образная форма изгиба монокристаллов  $\text{Bi}_2\text{Te}_3$  [2,3] может рассматриваться как уникальное явление, присущее достаточно пластичным слоистым кристаллам с аномально слабыми межслоевыми связями.

Рассмотрим некоторые аспекты практического использования наблюдавшихся эффектов.

1. Простота и высокая наглядность позволяют использовать эффект  $\Omega$ -образного прогиба для иллюстраций в пособиях по механике и термодинамике деформируемых твердых тел, сопротивлению материалов и синергетике (рис. 1 и 2).

2. Существенное увеличение энергопоглощения, не сопровождающееся разрушением материала (рис. 3), и благоприятное "уширение" спектров диссипации энергии при переходе  $V \rightarrow \Omega$  позволяет использовать механизм нестандартного прогиба (рис. 1, 2) для конструирования композиционных материалов, имеющих повышенные характеристики сопротивления деформации.

Авторы выражают свою благодарность В.Ф. Терентьеву, А.Г. Колмакову за помощь в работе, Т.Е. Свечниковой за выращенные для измерений образцы.

## Список литературы

- [1] Гольцман Б.М., Кудинов В.А., Смирнов И.А. Полупроводниковые термоэлектрические материалы на основе  $\text{Bi}_2\text{Te}_3$ . М.: Наука, 1972. 320 с.
- [2] Геминов В.Н., Копьев И.М., Свечникова Т.Е. и др. // ФХОМ. 1985. № 3. С. 132–138.
- [3] Чижевская С.Н., Геминов В.Н., Коржуев М.А., Свечникова Т.Е. // ФТТ. 1994. Т. 36. Вып. 11. С. 3366–3374.
- [4] Тимошенко С.П., Гере Дж. Механика материалов. М.: Мир, 1976. 670 с.
- [5] Коржуев М.А., Чижевская С.Н., Свечникова Т.Е. и др. // Неорганические материалы. 1992. Т. 28. № 7. С. 1383–1388.
- [6] Korzhuev M.A., Svechnikova T.E. // Phys. St. Sol. (a). 1992. Vol. 134. N 2. P. K61–K64.
- [7] Коржуев М.А., Свечникова Т.Е., Чижевская С.Н. // ФХОМ. 1992. № 1. С. 132–138.
- [8] Глендорф П., Пригожин И. Термодинамическая теория структуры устойчивости и флукутаций. М.: Мир, 1973. 450 с.
- [9] Николис Д.С. Динамика иерархических систем. М.: Мир, 1989. 486 с.
- [10] Хакен Г. Информация и самоорганизация. Макроскопический подход к сложным системам. М.: Мир, 1991. 240 с.